

مکان یابی ایستگاه‌های شبکه کینماتیک آنی با استفاده از تحلیل سلسله مراتبی فازی در سواحل جنوبی

فرزاد مرادی^۱

پرهام پهلوانی^۲

علیرضا آزموده اردلان^۳

تاریخ دریافت مقاله: ۹۹/۰۲/۲۲

تاریخ پذیرش مقاله: ۹۹/۱۲/۱۰

چکیده

در سال‌های اخیر سازمان نقشه‌برداری کشور، سازمان ثبت و املاک کشور و به صورت محدود برخی شهرداری‌ها برای ارائه خدمات تعیین موقعیت آنی دیفرانسیلی اقدام به ایجاد سامانه‌هایی کرده‌اند. این سامانه‌ها هرچند برای مقاصد نقشه‌برداری سریع در کشور مؤثر و مفید بوده‌اند، اما تأمین کننده تعیین موقعیت دقیق در مناطق ساحلی و فراساحلی کشور برای پاسخگویی به نیازهای ناوبری و اکتشاف و استخراج منابع دریایی در میادین نفتی نیستند. این در حالی است که کشور دارای مرز آبی طولانی در جنوب و شمال بوده و در برنامه‌های توسعه کشور، اقتصاد دریا محور در اولویت قرار گرفته است. گام اصلی در ایجاد یک سامانه تعیین موقعیت دیفرانسیلی آنی انتخاب مکان مناسب برای استقرار ایستگاه‌های تعیین موقعیت دائم است. لذا مکان یابی ایستگاه‌های شبکه کینماتیک آنی در جنوب کشور موضوع این تحقیق قرار گرفت. برای این منظور ابتدا ماتریس مقایسه زوجی لایه‌ها و زیرلایه‌های اطلاعاتی مورد نیاز، براساس نظر^۵ خبره در این امر به روش دلفی به دست آمد. سپس با استفاده از نرم‌افزار Matlab به روش تحلیل سلسله مراتبی فازی (Fuzzy Analytic Hierarchy Process) (برنامه‌نویسی و وزن هر لایه و زیرلایه محاسبه شد. سپس براساس وزن‌های به دست آمده از تجزیه و تحلیل ماتریس‌های مقایسه زوجی برای هر یک از زیر لایه‌ها، کلاسه‌بندی لایه‌ها در محیط GIS انجام پذیرفت؛ در نهایت با ادغام لایه‌ها به روش هم‌پوشانی شاخص وزن‌دار (Weighted index overlay) براساس وزن‌های به دست آمده برای هر لایه، مکان یابی برای استقرار ایستگاه‌های دائمی بهینه یابی شده است. جزئیات محاسبات و نتایج حاصل در مقاله ارائه شده است.

واژه‌های کلیدی: مکان یابی ایستگاه‌های مرجع دائمی CORS، تحلیل سلسله مراتبی فازی (FAHP)، شبکه کینماتیک آنی (Weighted index overlay)، هم‌پوشانی شاخص وزن‌دار (NRTK).

۱-دانشجوی کارشناسی ارشد زئودزی، دانشکده مهندسی نقشه‌برداری و اطلاعات مکانی، پردیس دانشکده‌های فنی، دانشگاه تهران (نویسنده مسئول) moradi.farzad@ut.ac.ir

۲-استاد تمام دانشکده مهندسی نقشه‌برداری و اطلاعات مکانی، پردیس دانشکده‌های فنی، دانشگاه تهران ardalan@ut.ac.ir

۳-استادیار دانشکده مهندسی نقشه‌برداری و اطلاعات مکانی، پردیس دانشکده‌های فنی، دانشگاه تهران pahlavani@ut.ac.ir

۱- مقدمه

نرم‌افزار NRTK را اجرا می‌کند ارسال و نرم‌افزار NRTK ابعامات ماهواره‌های مشاهده شده توسط همه ایستگاه‌های دائم را برطرف می‌کند و تصحیحات را تولید و به کاربران NRTK ارسال می‌کند.

کاربران NRTK با استفاده از این تصحیحات خطاهای موجود در داده‌های تعیین موقعیت سیستم‌های تعیین موقعیت ماهواره‌ای را برطرف می‌کنند. در این روش می‌توان دقت مکان‌یابی داده‌ها را تا سطح سانتی‌متر افزایش داد. یکی از تفاوت‌ها میان NRTK و DGPS در دقت آن‌هاست؛ NRTK دارای دقت بیشتری است.

تفاوت دیگر این دو روش این است که در روش RTK، این داده‌ها به صورت آنی به گیرنده متحرک فرستاده می‌شوند و در روش DGPS، این داده‌ها ذخیره می‌شوند تا در مراحل بعدی پردازش شوند.

گیرنده یک فرکانس برای DGPS کافی است اما در NRTK گیرنده دو فرکانس بهینه است. در DGPS مبنای اندازه‌گیری‌ها فاز کد PRN و در NRTK فاز موج حامل است (Hofmann-Wellenhof, at al, 2012; Baybura, at al, 2019). یک مشکل چالش برانگیز در طراحی NRTK، انتخاب محل بهینه برای نصب ایستگاه‌های دائم بهمنظور ارائه بهینه خدمات تعیین موقعیت به روش NRTK است. انتخاب مکان بهینه یکی از مسائل متداول در تصمیم‌گیری است. در این راستا روش‌های تصمیم‌گیری چند معیاره مورد توجه محققین قرار گرفته است.

یکی از این روش‌ها تحلیل سلسله مراتبی فازی است؛ که با در نظر گرفتن عدم قطعیت در نظرات کارشناسان مشکل عدم قطعیت روش تحلیل سلسله مراتبی را حل می‌کند (Rietveld, Piet, and Hans Ouwersloot, 1992).

در سال‌های اخیر مطالعه و اجرای پژوهه‌های مکان‌یابی به عنوان یکی از فاکتورهای کلیدی در موفقیت و توسعه پایدار پژوهه‌ها و طرح‌ها مطرح است. اهمیت این پژوهش‌ها و بررسی‌ها به حدی است که مطالعات مکان‌یابی علاوه بر مقیاس محلی و ملی، در سطح بین‌المللی نیز مورد مشاهدات ماهواره‌ای خود را به یک سرور مرکزی که

سامانه‌های ماهواره‌ای ناوبری جهانی (GNSS) دارد خطاهای متعددی هستند؛ از جمله این خطاهای می‌توان به خطای ساعت ماهواره تا ۳۰۰ متر، خطای اطلاعات مداری تا ۳۰۰ متر، خطای ساعت‌گیرنده تا ۱۰۰ متر، شکست امواج در لایه یونسفر تا ۱۵۰ متر و شکست امواج در لایه تروپوسفر تا ۲۰ متر، اشاره کرد.

لذا برای تعیین موقعیت دقیق که مورد نیاز بسیاری از کاربری‌ها است، نیازمند اصلاح این خطاهای هستیم. یکی از روش‌های معمول در این خصوص تصحیح مختصات تفاضلی است که اصطلاحاً روش DGNSS گفته می‌شود. در این روش از ایستگاه‌های مرجعی استفاده می‌شود که ماهواره‌ها را رصد کرده و اطلاعات مربوط به تصحیح را محاسبه و ارسال می‌کنند؛ این اطلاعات توسط گیرنده دریافت شده و به این ترتیب موقعیت گیرنده اصلاح می‌شود. اما یکی از مشکلاتی که در این رابطه وجود دارد کاربردی نمودن داده‌های حاصل از این روش در حالت آنی است که مستلزم اعمال پردازش‌های کامپیوتری بر روی آن‌ها و طبیعتاً صرف زمان طولانی است (Seeber, Günter, 2008). بنابراین راه حلی که امروزه در بسیاری از کشورهای جهان برای حل این مشکلات مورد استفاده قرار می‌دهند استفاده از چندین ایستگاه مرجع یا به عبارت دیگر ایجاد شبکه‌ای ملی یا منطقه‌ای است؛ که اطلاعات RTK را ارسال کرده و در نتیجه تنها با استفاده از یک گیرنده GNSS بتوان به صورت آنی به دقت سانتی‌متر رسید. به این روش که اصطلاحاً Network RTK گفته می‌شود ایستگاه مجهول برای تعیین موقعیت می‌تواند از یک یا چند ایستگاه معلوم (مرجع) موجود استفاده کند (Huang Jinsong, Rui Yuan, Yi Zhang, 2019).

Kim, Min-Seo, Tae-Suk .Bae, 2019)

در واقع یک سیستم NRTK از تعدادی ایستگاه مرجع دائم (CORS) با فاصله ۷۰ کیلومتر نسبت به ایستگاه‌های مجاور استفاده می‌کند. ایستگاه مرجع دائم به طور مداوم مشاهدات ماهواره‌ای خود را به یک سرور مرکزی که

فصلنامه علمی - پژوهشی اطلاعات جغرافیایی (GCR)

مکان‌یابی ایستگاه‌های شبکه کینماتیک آنی ...

با همکاری شرکت RTCM² اقدام به ایجاد فرم استاندارد تحت عنوان RTCM نمود؛ و تصحیحات DGPS را در سواحل آمریکا منتشر کرد (Grewal, at al, 2007).

در سال ۲۰۰۰ پس از غیرفعال شدن خطای SA و رسیدن به دقت بهتر از ۵ متر در شرایط نامناسب و بهتر از ۵ متر در شرایط عادی، کشورها را بر آن داشت تا با راهاندازی شبکه‌هایی از ایستگاه‌های DGPS مناطق وسیعی خصوصاً در سواحل دریا را تحت پوشش شبکه NRTK قرار دهند؛ که از مهم‌ترین آن‌ها می‌توان افزایش محدوده تحت پوشش این سیستم در آمریکا و هم‌پوشانی آن با سواحل کانادا را نام برد. کشور کانادا به تنها‌ی دارای ۱۲۰ ایستگاه در سواحل دریایی خود است (El-Rabbany, Ahmed, 2002). کشور سوئد هم تأسیس ایستگاه دائمی را از سال ۱۹۹۳ شروع و امروزه دارای ۱۵۷ ایستگاه دائمی DGPS است (Hedling, at al, 2001). انجمان امنیت دریایی استرالیا³ کار تأسیس ایستگاه‌های DGPS را در سال ۱۹۹۴ با سه ایستگاه شروع کرد.

در آسیا نیز می‌توان به کشور تایوان با ۱۲ ایستگاه و هندوستان با ۱۰ ایستگاه اشاره کرد (Lechner, Wolfgang, and Stefan Baumann, 2000). پس از مدتی کشورها اقدام به افزایش دقت شبکه‌های DGPS کرده و با ارسال تصحیحات فاز موج حامل به دقت‌های دسی‌متر هم دست یافتند. سپس انجمان‌های بین‌المللی و شرکت‌های بزرگ اقدام به ایجاد شبکه‌های NRTK نمودند که با ارسال تصحیحات به یک مرکز کنترل و پردازش‌های پیچیده‌تر مناطق وسیعی در سطح قاره‌ای را تحت پوشش قرار می‌داد. به عنوان مثال می‌توان به ایجاد چنین سامانه‌ای در شرق آسیا اشاره کرد (Kee, Changdon, and Dongho Shin, 1998).

از شرکت‌های خصوصی که در زمینه فراساحل مشغول به فعالیت در این زمینه هستند می‌توان به شرکت Fugro اشاره کرد که با ۱۶۰ ایستگاه دائمی GPS در سراسر دنیا در این خصوصیات سرویس جهانی ارائه می‌دهد.

توجه زیاد پژوهشگران قرار گرفته است (Ghodousi Mostafa,

Abolghasem Sadeghi-Niaraki, 2019; Ubando, Aristotle T., at al, 2020;

Kazemi Fatemeh, Ataallah Bahrami, Jafar Abdolah Sharif, 2020)

اما متأسفانه در زمینه مکان‌یابی ایستگاه‌های دائمی تحقیقی انجام نشده است.

استفاده از سیستم‌های اطلاعات مکانی در زمینه مدل‌سازی و مکان‌یابی علاوه بر افزایش دقت و صحت، به کاربر اجازه می‌دهد تا تمامی فاکتورهای مؤثر در یک تصمیم‌گیری را مد نظر قرار دهد. با توجه به آمارهای موجود در زمینه داده‌ها، بیش از ۹۰٪ داده‌های علوم مختلف، زمین مرجع هستند.

از این‌رو امروزه سیستم‌های اطلاعات مکانی در مدل‌سازی کاربردهای علوم و فنون مختلف بسیار پرکاربرد است. به عبارت دیگر با داشتن بانک اطلاعات زمین مرجع کامل و به روز از منابع مختلف امکان مدل‌سازی و مکان‌یابی با استفاده از لایه‌های اطلاعاتی در محیط سیستم‌های اطلاعات مکانی وجود دارد.

قابلیت‌های بالای سیستم‌های اطلاعات مکانی در مدیریت و تجزیه و تحلیل داده‌های مکانی و فرآیند تحلیل سلسله مراتبی منجر به ارائه محیط بسیار کارآمدی برای اجرای مراحل مختلف تحلیل‌هایی از قبیل مکان‌یابی شده و از مزیت‌های این روش نسبت به سایر روش‌ها این است که در هر مرحله از تصمیم‌گیری با تغییر دادن ارزش (وزن) هر یک از داده‌های ورودی مطابق با نظر کارشناس، در کمترین زمان ممکن تحلیل‌ها به روز شده و نتیجه به صورت نقشه گرافیکی قابل مشاهده است.

این امر در درک بهتر کارشناسان از تغییراتی که در محیط مورد مطالعه ایجاد می‌شود تأثیر به سزایی دارد (Aderoju, O. M., Dias, G A., Gonçalves, A. J., 2020) سیستم DGPS برای اولین بار در منطقه‌ای از آریزونا در آمریکا در سال ۱۹۷۸ به کار گرفته شد. بعد از آن اینستیتو ناوبری آمریکا¹ در سال ۱۹۸۳

به روش همپوشانی شاخص وزن دار^۱ براساس وزن های به دست آمده برای هر لایه، مکان های مناسب به منظور ایجاد ایستگاه های دائمی GNSS به دست می آید (Melwyn, Joshua, R., Palanivel, K., Rajaperumal, R, 2020)

ایستگاه های دائمی GPS این شرکت تصحیحات خود را به ۱۰ ماهواره ارسال و به این طریق مناطق وسیعی از جهان را تحت پوشش سرویس خود قرار می دهند. در ایران نیز سازمان های نقشه برداری، جغرافیایی، ثبت اسناد و املاک کشور و شهرداری تهران با پوشش مناطق مختلف، ارائه دهنده خدمات DGPS در کشور هستند.

تحقیقاتی که در این زمینه توسط مراکز پژوهشی مختلف انجام شده بسیار است که در اینجا برای نمونه می توان به موارد زیر اشاره کرد:

ماولین تانگ با انجام سه تحقیق جداگانه به بررسی مشکل انتخاب مکان مناسب ایستگاه های مرجع تعیین موقعیت دائمی پرداخته و الگوریتم هایی برای حل این مشکل ارائه کرده است (Tang, Maolin, 2014; Tang, Maolin, 2012; Tang, Maolin, 2009).

در تحقیقی دیگر نائی و همکاران به ارزیابی ایستگاه های مرجع دائمی موجود در نیجریه پرداخته و مدلی شامل ۴۹ ایستگاه مرجع را ارائه کرده اند که با ادغام این ۴۹ ایستگاه و ۱۱ ایستگاه موجود به پوشش ۹۶ درصدی نیجریه رسیده اند (Naibbi, Ali I., and Samir S. Ibrahim, 2014). توسعه و بهینه سازی الگوریتم شبکه تعیین موقعیت کینماتیک آنی پرداختند (ملکزاده و دیگران، ۱۳۹۴).

در تحقیقی دیگر مشهدی حسینعلی و همکاران به طراحی و بهره برداری از شبکه تعیین موقعیت آنی کینماتیک تهران پرداختند (مشهدی حسینعلی و دیگران، ۱۳۹۵).

در تحقیق حاضر برخلاف نمونه های ذکر شده به حل مشکل مکانیابی ایستگاه های دائم پرداخته خواهد شد. به این صورت که ابتدا ماتریس مقایسات زوجی برای معیارها و زیرمعیارها تشکیل و توسط ۵ خبره تکمیل شد. سپس براساس وزن های به دست آمده برای هر یک از زیر لایه ها از تجزیه و تحلیل ماتریس های مقایسات زوجی با استفاده از کدهای نوشته شده در نرم افزار Matlab، کلاس ه بندی لایه ها در محیط ArcGIS انجام پذیرفت و در نهایت با ادغام لایه ها

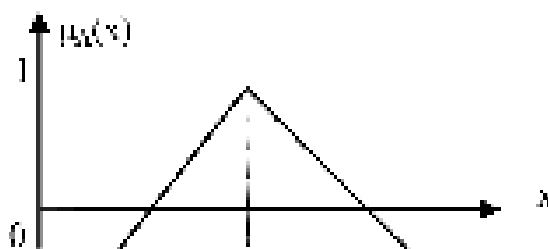
۲- تحلیل سلسله مراتبی فازی

زبان طبیعی برای بیان درک یا قضاوت های ذهنی نامشخص و مبهم است. برای حل ابهام قضاوت انسانی نظریه مجموعه های فازی در فرآیند تصمیم گیری معرفی شده است.

تلوفیق روش AHP با منطق فازی منجر به لحاظ کردن عدم قطعیت و عدم دقیقت موجود در مسائل به منظور تطبیق بیشتر با واقعیت می شود. که نظر پژوهشگرانی مانند یونگ چانگ را در سال ۱۹۹۶ به خود جلب کرده و منجر به ارائه روش تحلیل توسعه^۲ شد.

در این روش برای مقایسه زوجی گزینه ها، از اعداد فازی مثلثی استفاده می شود. عدد فازی مثلثی توسط عدد حقیقی (l,m,u) تعریف می شود (Chang, Da-Yong, 1996).

$$\mu_{A(x)} = \begin{cases} (x-l)/(m-l), & l \leq x \leq m \\ (u-x)/(u-m), & m \leq x \leq u \\ 0 & \text{otherwise} \end{cases} \quad (1)$$



نگاره ۱: نمایش عدد فازی مثلثی

فصلنامه علمی - پژوهشی اطلاعات جغرافیایی (۲۸۰)

مکان یابی ایستگاه‌های شبکه کینماتیک آنی ...

۴-۱- محاسبه مقادیر نرمال شده جمع سطحی

$$\tilde{s}_j = \sum_{i=1}^n \tilde{a}_{ij} \otimes \left[\sum_{k=1}^n \sum_{j=1}^n \tilde{a}_{kj} \right]^{-1} \quad (3)$$

در رابطه فوق a عدد فازی مثبت داخل ماتریس مقایسه‌های زوجی است. در حقیقت هنگام محاسبه ماتریس S هر یک از اجزاء اعداد فازی را نظیر به نظیر جمع می‌زنیم و در معکوس فازی مجموع کل ضرب می‌کنیم. (Chang, Da-Yong, 1996)

۴-۲- محاسبه درجه بزرگی S_i نسبت به $n-1$ عدد فازی دیگر در این مرحله S_i ها از نظر درجه بزرگی با یکدیگر براساس فرمول زیر مقایسه می‌شوند:

$$V(\tilde{s}_i \geq \tilde{s}_j) = \begin{cases} \frac{1}{u_i - l_j} & m_i \geq m_j \\ \frac{1}{(u_i - m_i) + (m_j - l_j)} & l_j \leq u_i \quad i, j = 1, \dots, n; j \neq i \\ 0 & \text{otherwise} \end{cases}$$

Where $\tilde{s}_i = (l_i, m_i, u_i)$ and $\tilde{s}_j = (l_j, m_j, u_j)$ (4)

مینیمم درجه بزرگی به عنوان وزن هر معیار در نظر گرفته می‌شود (Chang, Da-Yong, 1996).

۴-۳- محاسبه وزن معیارها و گزینه‌های ماتریس ماقایسه زوجی در این مرحله کافی است بردار وزن نرمالایز نشده را با محاسبه کمترین مقدار ۷ های محاسبه شده در مرحله قبل به دست آوریم (Chang, Da-Yong, 1996).

۵- محاسبه بردار وزن نهایی

در مرحله آخر بردار وزن به دست آمده از مرحله قبل که نرمال نشده بود را نرمالایز می‌کنیم تا بردار وزن نهایی که هدف محاسبات فازی است را به دست آوریم (Chang, Da-Yong, 1996).

۶- نرخ ناسازگاری تحلیل سلسله مراتبی فازی گوگوس و بوچر (1998) پیشنهاد کرده‌اند که برای بررسی سازگاری دو ماتریس (عدد میانی و حدود عدد فازی) از هر

۱-۱- رسم نمودار سلسله مراتبی

در هر تحلیل چندمعیاره‌ای رسم نمودار سلسله مراتبی (درخت تصمیم) یکی از گام‌های اولیه و اساسی است. زیرا پس از ترسیم این نمودار است که ما به روشنی هدف ساختار سلسله مراتب شاخص‌ها و زیر‌شاخص‌ها و گزینه‌ها را در می‌یابیم (Chang, Da-Yong, 1996).

۱-۲- تعریف اعداد فازی به منظور انجام مقایسه‌های زوجی در این مرحله لازم است اعداد فازی خود را که برای انجام مقایسه‌های زوجی نیاز است تعریف نمائیم تا خبرگان به استناد آن نسبت به ارائه پاسخ‌های خود اقدام کنند (جدول (Thomas, Paul G., and Peter C. Doherty, 1980))

جدول ۱: اعداد فازی

کد	عبارات کلامی	عدد فازی	معکوس عدد فازی
۱	اهمیت یکسان	(1,1,1)	(1,1,1)
۲	کمی مهم‌تر	(1/2,1,2)	(1/2,1,3/2)
۳	مهم‌تر	(1/2,2/3,1)	(1,3/2,2)
۴	خیلی مهم‌تر	(2/5,1/2,2/3)	(3/2,2,5/2)
۵	کاملاً مهم‌تر	(1/3,2/5,1/2)	(2,5/2,3)

۱-۳- تشکیل ماتریس مقایسه زوجی بر مبنای ترجیحات کاربر در این مرحله پرسش‌نامه‌ها در اختیار خبرگان قرار گرفته و پاسخ‌ها دریافت می‌شود. بنابراین ماتریس مقایسات زوجی که حاوی اعداد فازی هستند مهیا می‌شود. در صورتی که خبرگان بیش از یک نفر باشند از میانگین هندسی استفاده می‌کنیم (Chang, Da-Yong, 1996).

$$\tilde{A} = (\tilde{a}_{ij})_{n \times n} = \begin{bmatrix} (l_{11}, m_{11}, u_{11}) & (l_{12}, m_{12}, u_{12}) & \dots & (l_{1n}, m_{1n}, u_{1n}) \\ (l_{21}, m_{21}, u_{21}) & (l_{22}, m_{22}, u_{22}) & \dots & (l_{2n}, m_{2n}, u_{2n}) \\ \vdots & \vdots & \vdots & \vdots \\ (l_{n1}, m_{n1}, u_{n1}) & (l_{n2}, m_{n2}, u_{n2}) & \dots & (l_{nn}, m_{nn}, u_{nn}) \end{bmatrix}$$

Where $\tilde{a}_{ij} = (l_{ij}, m_{ij}, u_{ij}) = \tilde{a}_{ij}^{-1} = (1/u_{ji}, 1/m_{ji}, 1/l_{ji})$

For $i, j = 1, \dots, n$ and $i \neq j$

(2)

می شود تا در اولویت های ارائه شده تجدیدنظر کند, (Ying, et al, 2007).

۴- پیاده سازی روش

با توجه به این که برای مکان یابی ایستگاه های دائمی معیار خاصی وجود ندارد در این تحقیق براساس نظرات کارشناسان ۷ معیار و ۵۵ زیرمعیار در نظر گرفته شد.

جدول ۲: شاخص های تصادفی (RI)

RI ^g	RI ^m	اندازه ماتریس
۰	۰	۱
۰	۰	۲
۰/۱۷۹۶	۰/۴۸۹۰	۳
۰/۲۶۲۷	۰/۷۹۳۷	۴
۰/۳۵۹۷	۱/۰۷۲۰	۵
۰/۳۸۱۸	۱/۱۹۹۶	۶
۰/۴۰۹۰	۱/۲۸۷۴	۷
۰/۴۱۶۴	۱/۳۴۱۰	۸
۰/۴۳۴۸	۱/۳۷۹۳	۹
۰/۴۴۵۵	۱/۴۰۹۵	۱۰
۰/۴۵۳۶	۱/۴۱۸۱	۱۱
۰/۴۷۷۶	۱/۴۴۶۲	۱۲
۰/۴۶۹۱	۱/۴۰۰۵	۱۳
۰/۴۸۰۴	۱/۴۹۱۳	۱۴
۰/۴۸۸۰	۱/۴۹۸۶	۱۵

این معیارها عبارت اند از: (۱) نزدیکی به مناطق مسکونی و امکانات شهری، (۲) شب، (۳) فاصله از گسل ها، (۴) فاصله از راه های دسترسی، (۵) جنس خاک، (۶) فاصله از رودخانه ها و (۷) فاصله از خطوط راه آهن. پس از آن لایه های اطلاعات مکانی ذکر شده به سیستم تصویر مخروطی لامبرت منتقل و محدود به منطقه مطالعه (سواحل دریای عمان و خلیج فارس) شدند.

ماتریس فازی مشتق و سپس سازگاری هر ماتریس براساس روش ساعتی محاسبه شود. مراحل محاسبه نرخ سازگاری ماتریس های فازی مقایسات زوجی به قرار زیر است:

گام اول: در مرحله اول ماتریس مثلثی فازی را به دو ماتریس تقسیم می کنیم. ماتریس اول از اعداد میانی قضاوت های مثلثی تشکیل می شود (Am) و ماتریس دوم شامل میانگین هندسی حدود بالا و پایین اعداد مثلثی است (Ag).

گام دوم: بردار وزن هر ماتریس با استفاده از روش ساعتی محاسبه شود (Wm, Wg).

گام سوم: بزرگ ترین مقدار ویژه برای هر ماتریس محاسبه شود.

$$\lambda_{\max, Am} = (1/n) * \sum_{i=1}^n \sum_{j=1}^n (Am(i,j) * (Wm(j)/Wm(i))) \quad (5)$$

$$\lambda_{\max, Ag} = (1/n) * \sum_{i=1}^n \sum_{j=1}^n (Ag(i,j) * (Wg(j)/Wg(i))) \quad (6)$$

گام چهارم: شاخص های سازگاری برای هر ماتریس محاسبه شود.

$$CIm = (\lambda_{\max, Am} - n) / (n-1) \quad (7)$$

$$CIg = (\lambda_{\max, Ag} - n) / (n-1) \quad (8)$$

گام آخر: نرخ ناسازگاری هر شاخص بر مقدار شاخص تصادفی که توسط گوگوس و بوچر در سال ۱۹۹۸ برای ماتریس های با ابعاد مختلف محاسبه شد به دست می آید (Gogus, Ozerk, and Thomas O. Boucher, 1998).

$$CRm = CIm / RIm \quad (9)$$

$$CRg = CIg / RIg \quad (10)$$

در صورتی که هر دوی این شاخص های محاسبه شده کمتر از ۰/۱ بودند ماتریس فازی سازگار است. در صورتی که هر دو بیشتر از ۰/۱ باشند از تصمیم گیرنده تقاضا

فصلنامه علمی - پژوهشی اطلاعات جغرافیایی (۲۸۰)

مکان یابی ایستگاه‌های شبکه کینماتیک آنی ...

مختلف در بازه‌ی [۰/۶-۰/۶] باشد. لذا همبستگی لایه‌های مختلف براساس فرمول ۱۱ محاسبه شده و در جدول ۳ ارائه شده است.

$$\text{corr}(x,y) = \frac{\text{cov}(x,y)}{\sigma_x \sigma_y} = \frac{E[(x - \mu_x)(y - \mu_y)]}{\sigma_x \sigma_y} \quad (11)$$

در فرمول بالا $\text{corr}(x,y)$ به معنی همبستگی بین دو متغیر تصادفی x و y $\text{cov}(x,y)$ به معنی کوواریانس بین دو متغیر تصادفی x و y ، E عملکر امید ریاضی و σ نماد انحراف معیار است.

همان‌طور که در جدول ۳ مشاهده می‌کنید، همبستگی لایه‌های مختلف در بازه ذکر شده قرار دارد لذا می‌توانیم از روش تحلیل سلسله مراتبی فازی بهره ببریم.

۴-۱-۲- رسم نمودار سلسله مراتبی

براساس معیارهای تعریف شده در مساله نمودار سلسله مراتبی به صورت ارائه شده در نگاره ۳ ترسیم گردید (نگاره ۳).

۴-۲-۲- تشکیل ماتریس مقایسه زوجی بر مبنای ترجیحات کاربر

به عنوان نمونه ماتریس مقایسات زوجی معیارهای یکی از خبرگان در جدول ۴ نمایش داده شده است (جدول ۴).

۴-۳-۲- محاسبه بردار وزن نهایی

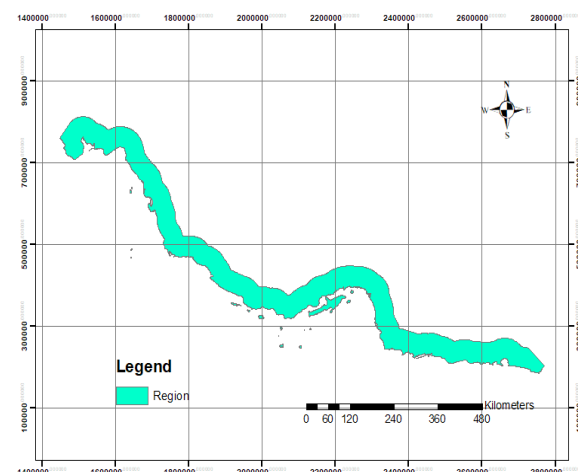
بردار وزن لایه‌ها و زیرلایه‌های اطلاعاتی مختلف برای هریک از ماتریس‌های مقایسات زوجی با استفاده از کدهای نوشته شده در نرم‌افزار Matlab محاسبه شد.

لازم به ذکر است که در تحقیق حاضر از نظر ۵ کارشناس خبره در این امر استفاده شده است و در نهایت با استفاده از میانگین هندسی وزن نهایی هر لایه و زیرلایه به صورت جدول ۵ به دست آمد (جدول ۵).

۴-۱- منطقه مورد مطالعه

همان‌گونه که پیش‌تر ذکر شد، فقدان سامانه‌ای که تأمین‌کننده تعیین موقعیت دقیق در مناطق ساحلی کشور برای پاسخگویی به نیازهای ناوبری و اکتشاف و استخراج منابع دریایی و میادین نفتی باشد ضرورت انجام این مطالعه می‌باشد. چرا که ایران دارای مرز آبی طولانی در جنوب و شمال بوده و در برنامه‌های توسعه کشور، اقتصاد دریا محور در اولویت قرار گرفته و این توسعه نیازمند مهیا شدن زیرساخت‌های لازم بوده که در صدر آن سامانه تعیین موقعیت آنی دقیق قرار دارد.

لذا طراحی موقعیت ایستگاه‌های دائمی GNSS در سواحل جنوبی کشور محدوده مورد مطالعه این تحقیق قرار گرفت (نگاره ۲).



نگاره ۲: منطقه مورد مطالعه

۴-۲- محاسبه وزن هر لایه و زیرلایه براساس روش تحلیل سلسله مراتبی فازی

در این مرحله می‌بایست وزن هر لایه و زیرلایه را براساس روش تحلیل سلسله مراتبی فازی به دست آوریم. با توجه به این که زمانی می‌توانیم از روش تحلیل سلسله مراتبی فازی استفاده کنیم که همبستگی^۱ بین لایه‌های

جدول ۳: همبستگی لایه‌ها

۱	۲	۳	۴	۵	۶	۷
۱	۱	-۰/۲۲۰۹	-۰/۰۸۴۶	-۰/۰۷۶۱	۰/۰۸۴۰	۰/۰۱۲۹
۲	-۰/۲۲۰۹	۱	۰/۲۸۸۴	۰/۰۴۴۰	-۰/۰۱۶۷	۰/۰۸۶۰
۳	-۰/۰۸۴۶	۰/۲۸۸۴	۱	۰/۰۲۰۷	۰/۱۰۷۷	۰/۰۸۸۶
۴	-۰/۰۷۶۱	۰/۰۴۴۰	۰/۰۲۰۷	۱	۰/۱۳۱۱	۰/۳۴۳۶
۵	۰/۰۸۴۰	-۰/۰۱۶۷	۰/۱۰۷۷	۰/۱۳۱۱	۱	۰/۳۵۴۰
۶	۰/۰۱۲۹	۰/۰۸۶۰	۰/۰۸۸۶	۰/۳۴۳۶	۰/۳۵۴۰	۰/۰۰۱۱
۷	۰/۱۱۲۸	۰/۰۳۴۰	۰/۰۹۰۰	۰/۰۰۵۲۹	۰/۱۶۳۳	۰/۰۰۱۱

GNSS مکان‌یابی ایستگاه‌های دائمی

فاصله از خطوط راه آهن	فاصله از مناطق مسکونی	شیب	فاصله از گسل	فاصله از های دسترسی	فاصله از رو دخانه	فاصله از جنس خاک
۰ تا ۰/۲ کیلومتر	۰ تا ۵ کیلومتر	۰ تا ۴ درجه	۰ تا ۱۰ کیلومتر	۰ تا ۲/۰ کیلومتر	۰ تا ۲/۰ کیلومتر	۰ تا ۲/۰ کیلومتر و باتلاقی
۰/۲ تا ۰/۵ کیلومتر	۰/۵ تا ۱ کیلومتر	۴ تا ۸ درجه	۱۰ تا ۱۵ کیلومتر	۰/۲ تا ۰/۵ کیلومتر	۰/۲ تا ۰/۵ کیلومتر	۰/۲ تا ۰/۵ کیلومتر و شنی
۰/۵ تا ۱ کیلومتر	۱ تا ۱۵ کیلومتر	۸ تا ۱۲ درجه	۱۵ تا ۲۰ کیلومتر	۰/۵ تا ۱ کیلومتر	۰/۵ تا ۱ کیلومتر	۰/۵ تا ۱ کیلومتر و خاک رس
۱ تا ۵ کیلومتر	۱۵ تا ۲۰ کیلومتر	۱۲ تا ۱۶ درجه	۲۰ تا ۱۰۰ کیلومتر	۱ تا ۵ کیلومتر	۱ تا ۵ کیلومتر	۱ تا ۵ کیلومتر و سنج
۵ تا ۲۰ کیلومتر	۲۰ تا ۳۰ کیلومتر	۱۶ تا ۲۰ درجه	۱۰۰ تا ۲۰۰ کیلومتر	۵ تا ۲۰ کیلومتر	۵ تا ۲۰ کیلومتر	۵ تا ۲۰ کیلومتر و نمکی
۲۰ تا ۵۰ کیلومتر	۳۰ تا ۵۰ کیلومتر	۲۰ تا ۳۰ درجه	۲۰۰ تا ۵۰۰ کیلومتر	۲۰ تا ۵۰ کیلومتر	۲۰ تا ۵۰ کیلومتر	۲۰ تا ۵۰ کیلومتر و پست مقالوم
۵۰ تا ۱۰۰ کیلومتر	۵۰ تا ۱۰۰ کیلومتر	۳۰ تا ۴۵ درجه	۵۰ تا ۱۰۰ کیلومتر	۵۰ تا ۱۰۰ کیلومتر	۵۰ تا ۱۰۰ کیلومتر	۵۰ تا ۱۰۰ کیلومتر
۱۰۰ تا ۱۵۰ کیلومتر	۱۰۰ تا ۱۵۰ کیلومتر	۴۵ تا ۶۰ درجه	۱۰۰ تا ۱۵۰ کیلومتر	۱۰۰ تا ۱۵۰ کیلومتر	۱۰۰ تا ۱۵۰ کیلومتر	۱۰۰ تا ۱۵۰ کیلومتر
۱۵۰ تا ۲۰۰ کیلومتر	۱۵۰ تا ۲۰۰ کیلومتر	۶۰ تا ۹۰ درجه	۱۵۰ تا ۲۰۰ کیلومتر	۱۵۰ تا ۲۰۰ کیلومتر	۱۵۰ تا ۲۰۰ کیلومتر	۱۵۰ تا ۲۰۰ کیلومتر

نگاره ۳: درخت سلسله مراتبی تصمیم‌گیری

جدول ٤: ماتریس مقایسات زوچی

جنس خاک	فاصله از رودخانه	فاصله از راههای دسترسی	فاصله از گسل	شیب	فاصله از مناطق مسکونی	راه آهن	لایه
(۱/۲,۲/۳,۱)	(۱/۲,۲/۳,۱)	(۲/۵,۱/۲,۲/۳)	(۱/۲,۲/۳,۱)	(۲/۵,۱/۲,۲/۳)	(۱/۳,۲/۵,۱/۲)	(۱,۱,۱)	راه آهن
(۲,۵/۲,۳)	(۱,۳/۲,۲)	(۳/۲,۲,۵/۲)	(۱,۳/۲,۲)	(۱,۱,۱)	-	فاصalte از مناطق مسکونی	راه آهن
(۳/۲,۲,۵/۲)	(۱/۲,۱,۳/۲)	(۱,۳/۲,۲)	(۱,۱,۱)	-	-	شیب	-
(۱/۲,۱,۳/۲)	(۲/۳,۱,۲)	(۱,۱,۱)	-	-	-	فاصله از گسل	-
(۳/۲,۲,۵/۲)	(۳/۵,۲,۲/۲)	(۱,۱,۱)	-	-	-	فاصله از راههای دسترسی	-
(۲/۳,۱,۲)	(۱,۱,۱)	-	-	-	-	فاصله از رودخانه	-
(۱,۱,۱)	-	-	-	-	-	جنس خاک	-

فصلنامه علمی - پژوهشی اطلاعات جغرافیایی (۲۸۰)

مکان یابی ایستگاه‌های شبکه کینماتیک آنی ... ۲۷/۲

فاصله از راه‌های دسترسی	۰ تا ۰/۲ کیلومتر	۲۸
	۰/۵ تا ۰/۲ کیلومتر	۲۵
	۰/۵ تا ۱ کیلومتر	۲۴
	۱ تا ۵ کیلومتر	۱۷
	۵ تا ۲۰ کیلومتر	۶
	۲۰ تا ۵۰ کیلومتر	.
	۵۰ تا ۱۰۰ کیلومتر	.
	۱۰۰ تا ۱۵۰ کیلومتر	.
	۱۵۰ تا ۲۰۰ کیلومتر	.
	۲۰۰ تا ۳۰۰ کیلومتر	.
فاصله تا رویدخانه‌ها	۰ تا ۰/۲ کیلومتر	.
	۰/۵ تا ۰/۲ کیلومتر	.
	۰/۵ تا ۱ کیلومتر	۱
	۱ تا ۵ کیلومتر	۹
	۵ تا ۲۰ کیلومتر	۱۶
	۲۰ تا ۵۰ کیلومتر	۱۸
	۵۰ تا ۱۰۰ کیلومتر	۱۸
	۱۰۰ تا ۱۵۰ کیلومتر	۱۸
	۱۵۰ تا ۲۰۰ کیلومتر	۲۰
فاصله از گسل	۰ تا ۱۰ کیلومتر	.
	۱۰ تا ۱۵ کیلومتر	۴
	۱۵ تا ۲۰ کیلومتر	۱۸
	۲۰ تا ۱۰۰ کیلومتر	۳۷
	۱۰۰ تا ۲۰۰ کیلومتر	۴۱
شیب	۰ تا ۴ درجه	۲۳
	۴ تا ۸ درجه	۲۲
	۸ تا ۱۲ درجه	۲۰
	۱۲ تا ۱۶ درجه	۱۶
	۱۶ تا ۲۰ درجه	۱۳
	۲۰ تا ۳۰ درجه	۶
	۳۰ تا ۴۵ درجه	.
جنس خاک	۴۵ تا ۶۰ درجه	.
	۶۰ تا ۹۰ درجه	.
	بسنر مقاوم	۵۰
	گلی و شنی	۵
	خاک رس	۱۶
جنس خاک	گچی و باتلاقی	.
	سنگ آهک، سنگ دولومیت و نمکی	۲۹

۴-۲-۴- بررسی سازگاری

مراحل محاسبه نرخ ناسازگاری طبق بخش ۳ انجام شد و نتایج آن در جدول ۶ ارائه شده است. با توجه به این که هر دو معیار سازگاری کوچک‌تر از ۱/۰ بوده است پس ماتریس فازی سازگار است و می‌توانیم از وزن‌های بدست آمده در مرحله قبل استفاده کنیم.

جدول ۵: وزن لایه‌ها

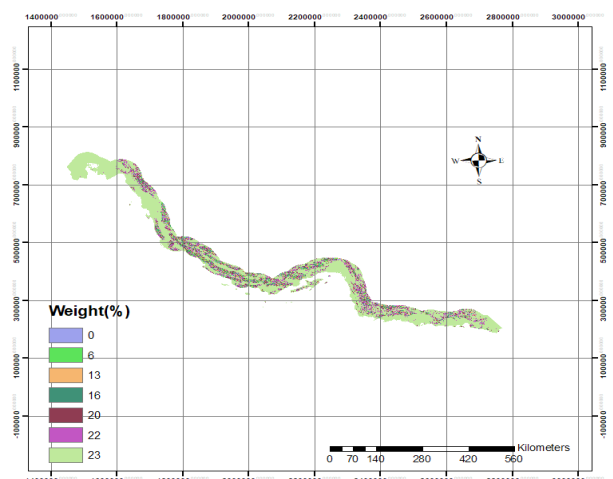
لایه	وزن
فاصله از مناطق مسکونی	۰/۲۱۶۹
شیب	۰/۱۶۸۶
فاصله از گسل	۰/۱۳۹۱
فاصله از راه‌های دسترسی	۰/۱۵۶۷
فاصله از خطوط راه‌آهن	۰/۰۵۷۶
فاصله از رویدخانه	۰/۱۴۶۶
جنس خاک	۰/۱۱۴۱

جدول ۶: وزن زیرلایه‌ها

لایه	زیرلایه	وزن (%)
فاصله از خطوط راه‌آهن	۰ تا ۰/۲ کیلومتر	۱۹
	۰/۵ تا ۰/۲ کیلومتر	۱۹
	۰/۵ تا ۱ کیلومتر	۱۹
	۱ تا ۵ کیلومتر	۱۹
	۵ تا ۲۰ کیلومتر	۱۴
	۲۰ تا ۵۰ کیلومتر	۱۰
	۵۰ تا ۱۰۰ کیلومتر	۰
	۱۰۰ تا ۱۵۰ کیلومتر	۰
	۱۵۰ تا ۲۰۰ کیلومتر	۰
فاصله از مناطق مسکونی	۰ تا ۵ کیلومتر	۵۲
	۵ تا ۱۰ کیلومتر	۴۴
	۱۰ تا ۱۵ کیلومتر	۴
	۱۵ تا ۲۰ کیلومتر	۰
	۲۰ تا ۳۰ کیلومتر	۰
	۳۰ تا ۵۰ کیلومتر	۰
	۵۰ تا ۱۰۰ کیلومتر	۰
	۱۰۰ تا ۲۰۰ کیلومتر	۰
	۲۰۰ تا ۳۰۰ کیلومتر	۰

۴-۲-۳- کلاسه‌بندی لایه شیب

با توجه به استاندارد UNAVCO، ایستگاه‌های دائمی GNSS باید در مناطقی با شیب پایدار، در واقع مناطق با شیب کمتر از ۲۰ درجه احداث شوند. پس از تعیین شیب منطقه به هر سلول شبکه در منطقه با توجه به شیب، وزن به دست آمده از نظرات خبرگان به روش تحلیل سلسله مراتبی فازی اختصاص داده می‌شود. در واقع شیب را به بازه‌هایی تقسیم کرده و به هر بازه وزنی اختصاص داده می‌شود به‌طوری که هرچه این شیب کمتر باشد، وزن بیشتری تخصیص می‌یابد (نگاره ۵).



نگاره ۵: کلاسه‌بندی لایه شیب

۴-۳-۳- کلاسه‌بندی لایه فاصله از گسل‌ها

یکی دیگر از معیارهای مهم در مکان‌یابی ایستگاه‌های دائمی، گسل است؛ براساس این وزن هرچه نقطه از گسل دورتر باشد برای احداث ایستگاه مناسب‌تر بوده و عدد اختصاص داده شده به ۱۰۰ نزدیک‌تر است (نگاره ۶).

۴-۳-۴- کلاسه‌بندی لایه فاصله از راه‌های دسترسی

یکی از معیارهای انتخاب محل احداث ایستگاه دائمی وجود راه دسترسی به آن ایستگاه است. در واقع هرچه یک ایستگاه به راه‌های موجود در منطقه نزدیک‌تر باشد دسترسی

جدول ۷: محاسبه معیارهای سازگاری

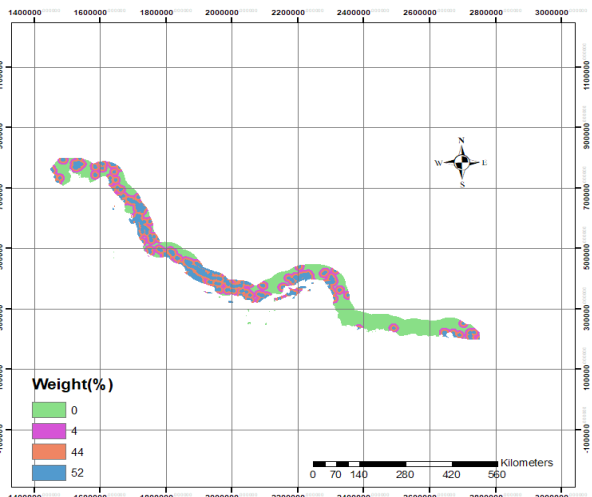
معیار	CRm	CRg
فاصله از خطوط راه‌آهن	۰/۰۰۴۵	۰/۰۱۰۷
فاصله از مناطق مسکونی	۰/۰۰۰۳	۰/۰۱۳۰
فاصله از راه‌های دسترسی	۰/۰۲۱۳	۰/۰۶۳۲
فاصله تا رودخانه‌ها	۰/۰۱۳۱	۰/۰۳۹۸
فاصله از گسل	۰/۰۳۰۳	۰/۰۱۳۴
شیب	۰/۰۱۸۸	۰/۰۵۵۷
جنس خاک	۰/۰۳۲۵	۰/۰۸۶۴
کلی	۰/۰۱۲۵	۰/۰۵۳۰

۴-۳- کلاسه‌بندی لایه‌های اطلاعاتی مختلف

در این مرحله با توجه به وزن‌های به دست آمده از مرحله قبل برای هریک از زیرلایه‌ها، کلاسه‌بندی لایه‌ها انجام می‌گیرد.

۴-۱-۳- کلاسه‌بندی لایه نزدیکی به مناطق مسکونی و امکانات شهری

یکی از معیارهای مهم در تعیین موقعیت مناسب برای احداث ایستگاه‌ها نزدیکی آن‌ها به مناطق شهری است، چرا که این مناطق کانون‌های توسعه آتی کشور بوده و لذا دارای اولویت دریافت زیر ساخت‌های توسعه‌ای هستند. بافرهای نشان داده شده در (نگاره ۴) مؤید این نیاز است.



نگاره ۴: کلاسه‌بندی لایه نزدیکی به مناطق مسکونی و امکانات شهری

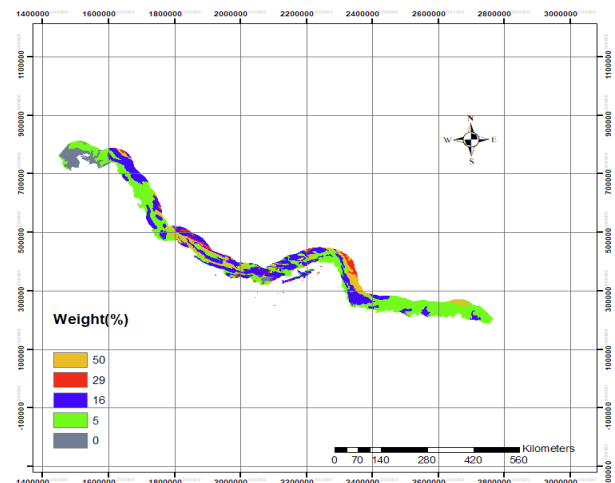
فصلنامه علمی - پژوهشی اطلاعات جغرافیایی (GSS)

مکان یابی ایستگاه‌های شبکه کینماتیک آنی ... ۲۹/

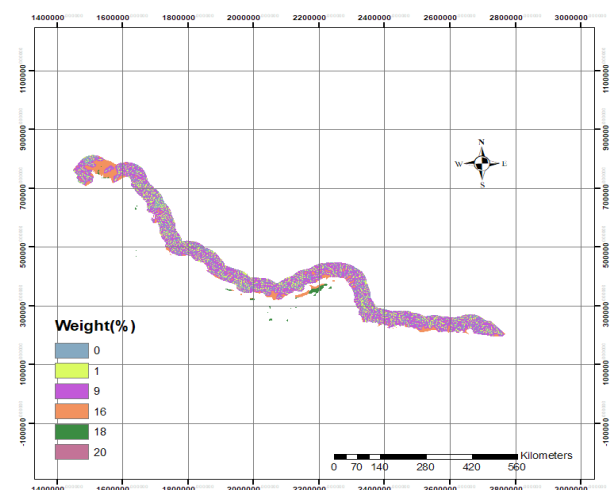
احداث ایستگاه باید دارای سنگ بستری با بیشینه پایداری و ثبات جهت عدم تغییر موقعیت مکانی ایستگاه در شرایط آب و هوایی مختلف با گذشت زمان باشد (نگاره ۸).

۶-۳-۴- کلاسه‌بندی لایه فاصله از رودخانه‌ها

یکی دیگر از معیارهای مهم در مکان یابی ایجاد ایستگاه‌های دائمی GNSS فاصله از رودخانه‌ها است. براین اساس هر قدر فاصله از رودخانه بیشتر باشد وزن آن نیز بیشتر است (نگاره ۹).

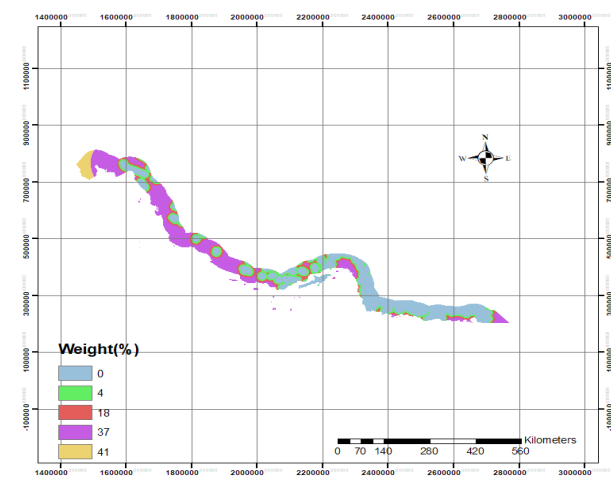


نگاره ۸: کلاسه‌بندی لایه جنس خاک

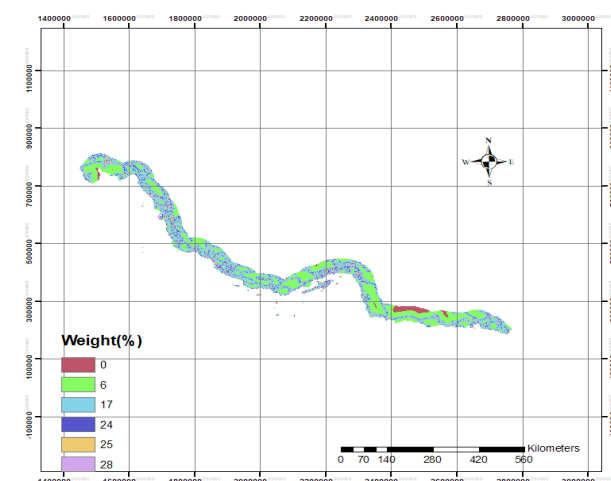


نگاره ۹: کلاسه‌بندی فاصله از رودخانه‌ها

به آن ایستگاه مناسب‌تر بوده و نگهداری از ایستگاه و بازدید از آن راحت‌تر صورت می‌پذیرد. بر این اساس فاصله وزنی بین ۰ و ۱۰۰ اختصاص داده می‌شود که نشان‌دهنده میزان مناسب بودن آن سلول شبکه برای احداث ایستگاه دائمی GNSS است (نگاره ۷).



نگاره ۷: کلاسه‌بندی فاصله از گسل‌ها

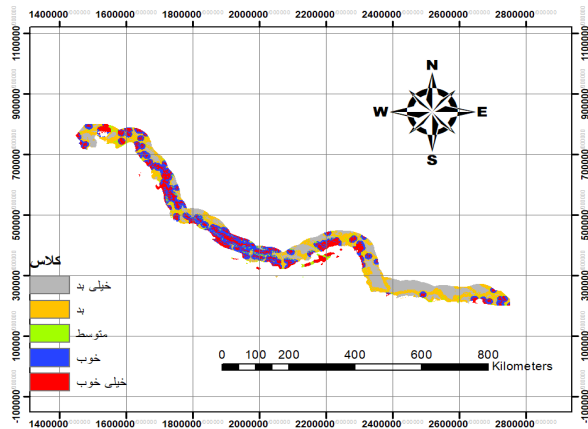


نگاره ۷: کلاسه‌بندی فاصله از راه‌های دسترسی

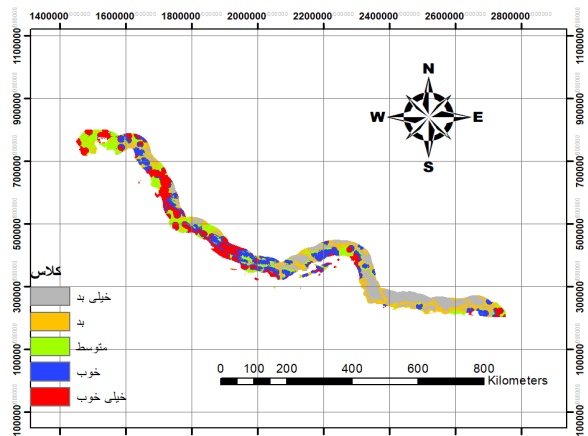
۶-۳-۵- کلاسه‌بندی لایه جنس خاک

یکی از معیارهای مهم دیگر در تعیین محل احداث ایستگاه‌های دائمی GNSS، تعیین جنس بستر مناسب برای احداث ایستگاه است که باید قادر هرگونه شکستگی، گسینختگی و نواحی ناپیوسته باشد. در واقع محل مناسب

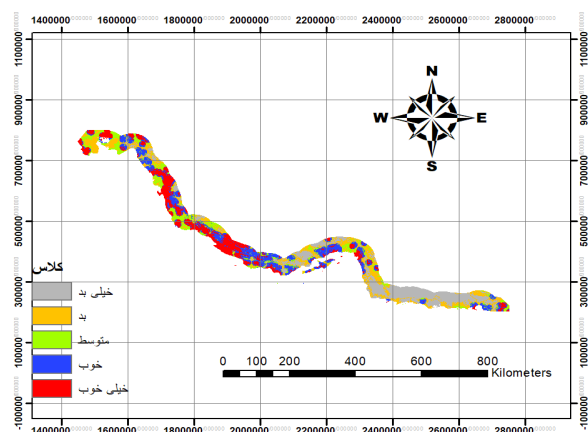
بد و خیلی بد تقسیم شده است که کلاس‌های خیلی خوب و خوب را می‌توان به عنوان مکان‌های بهینه برای ایجاد ایستگاه‌های دائمی GNSS در نظر گرفت.



نگاره ۱۱: کلاسه‌بندی مکان‌های بهینه براساس ۴ معیار اول

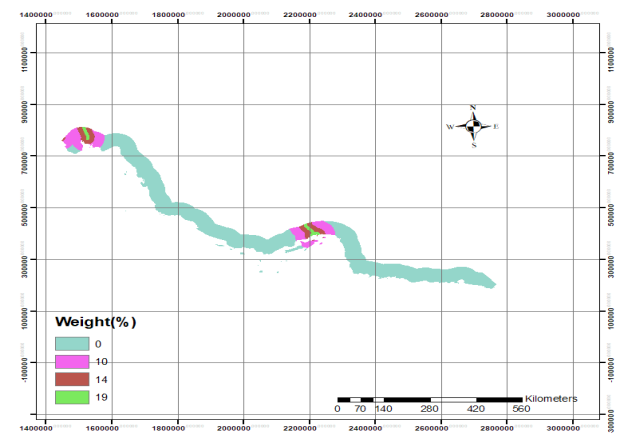


نگاره ۱۲: کلاسه‌بندی مکان‌های بهینه براساس ۵ معیار اول



نگاره ۱۳: کلاسه‌بندی مکان‌های بهینه براساس ۶ معیار اول

۴-۳-۷-۳- کلاسه‌بندی لایه فاصله از خطوط راه‌آهن یکی از معیارهای انتخاب محل احداث ایستگاه دائمی GNSS فاصله از خطوط راه‌آهن است. در واقع هرچه یک ایستگاه به خطوط راه‌آهن موجود در منطقه نزدیک‌تر باشد دسترسی به آن ایستگاه مناسب‌تر بوده و نگهداری از ایستگاه و بازدید از آن راحت‌تر صورت می‌پذیرد (نگاره ۱۰).



نگاره ۱۰: کلاسه‌بندی فاصله از خطوط راه‌آهن

۴-۴- ادغام لایه‌های اطلاعاتی

در این مرحله لایه‌های اطلاعاتی مختلف را در نرم‌افزار ArcGIS و به روش همپوشانی شاخص وزن‌دار، طبق وزن‌های محاسبه شده در جدول ۵ ادغام کرده و مکان‌های بهینه برای ایجاد ایستگاه‌های دائمی GNSS را استخراج کردیم. برای نمایش بهتر از میزان تأثیرگذاری عوامل در شکل نهایی مکان‌یابی، ابتدا فقط ۴ معیار قوی‌تر از لحاظ میزان وزن از بین ۷ معیار را انتخاب کردیم و ادغام لایه‌ها را براساس آن‌ها انجام دادیم. در مرحله بعد معیار پنجم را اضافه کرده و این بار با ادغام ۵ لایه مکان‌یابی انجام گرفت. و این کار برای ۶ و ۷ لایه نیز انجام گرفت بنابراین ۴ نقشه نهایی مکان‌یابی به دست آمد. همان‌طور که از نگاره‌ها پیداست نقشه حاصل از این ادغام‌ها با یکدیگر متفاوت است بنابراین معیارهای انتخاب شده در این تحقیق تأثیر به سزایی در مکان‌یابی انجام گرفته دارند. همان‌طور که در نگاره ۱۴ پیداست کل منطقه به ۵ کلاس خیلی خوب، خوب، متوسط،

فصلنامه علمی - پژوهشی اطلاعات جغرافیایی (GCR)

مکان‌یابی ایستگاه‌های شبکه کینماتیک آنی ... ۳۱ /

است که کلاس‌های خیلی خوب و خوب را که مورد نظر کارشناسان هستند به عنوان مکان‌های بهینه برای ایجاد ایستگاه‌های دائمی GNSS در نظر گرفتیم.

۶- پیشنهادات آتی

همان‌طور که در نگاره ۳ نشان داده شد ۷ معیار (۱) نزدیکی به مناطق مسکونی و امکانات شهری، (۲) شبیب، (۳) فاصله از گسل‌ها، (۴) فاصله از راه‌های دسترسی، (۵) جنس خاک، (۶) فاصله از رودخانه‌ها و (۷) فاصله از خطوط راه‌آهن، در این تحقیق مورد استفاده قرار گرفت. با استفاده از تولید و اضافه کردن نقشه خطرپذیری سیل و نقشه خطرپذیری فرسایش خاک که خود نیاز به تحقیقات بسیار جامع دارد می‌توان به بهبود مکان‌یابی ارائه شده در این تحقیق پرداخت.

تقدیر و تشکر

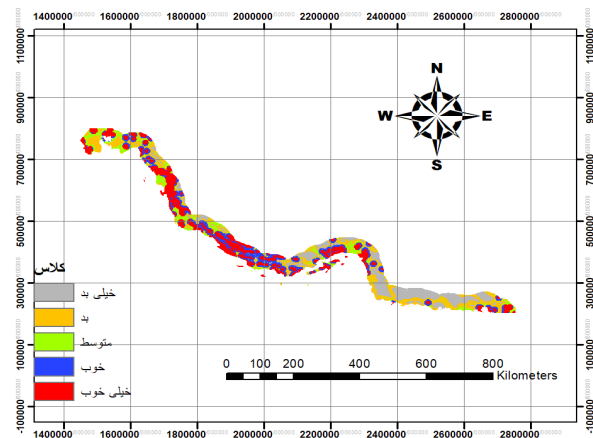
از زحمات و تلاش‌های سازمان جغرافیایی و خصوصاً آقای مهندس طایفی در پیشبرد این تحقیق کمال تشکر و قدردانی را داریم.

۷- منابع و مأخذ

- ۱- مشهدی حسینعلی، خوشمنش؛ مسعود، مصطفی (۲۰۱۶)، شبکه تعیین موقعیت آنی کینماتیک تهران، از طراحی تا بهره‌برداری، نشریه علمی علوم و فنون نقشه‌برداری، (۱)، ۲۷۵-۲۹۱.
- ۲- ملک‌زاده، اردلان (۱۳۹۴)، توسعه و بهینه‌سازی الگوریتم شبکه تعیین موقعیت کینماتیک آنی (NRTK)، عسگری، جمال، دانشگاه اصفهان، گروه مهندسی نقشه‌برداری.

3- Aderoju, O. M., Dias, G. A., & Gonçalves, A. J. (2020). A GIS-based analysis for sanitary landfill sites in Abuja, Nigeria. Environment, Development and Sustainability, 22(1), 551-574.

4- Baybura, T., Tiryakioğlu, İ., Uğur, M. A., Solak, H. İ., & Şafak, Ş. (2019). Examining the Accuracy of Network



نگاره ۱۴: کلاسه‌بندی مکان‌های بهینه براساس ۷ معیار

۵- نتیجه‌گیری

در این مقاله نتایج حاصل از مکان‌یابی بهینه ایستگاه‌های دائمی GNSS ارائه شد که جوابگوی نیاز تعیین موقعیت دقیق در مناطق ساحلی کشور برای کاربری‌های مانند ناوپری و اکتشاف و استخراج منابع دریایی و میادین نفتی باشد. با انتخاب سواحل جنوبی کشور به عنوان منطقه مطالعه، با نظر خبرگان در این حیطه ۷ معیار، نزدیکی به مناطق شهری و امکانات رفاهی، شبیب، فاصله از گسل، فاصله از راه‌های دسترسی، جنس خاک، فاصله از رودخانه‌ها و فاصله از خطوط راه‌آهن، برای این امر در نظر قرار گرفت. ماتریس مقایسات زوجی برای این معیارها و زیرمعیارهای ذکر شده تشکیل و از ۵ کارشناس خبره نظرخواهی شد. نظرات کارشناسی با استفاده از کدهای نوشته شده در نرم‌افزار Matlab به روش تحلیل سلسله مراتبی فازی تجزیه و تحلیل شده و وزن هر معیار و زیرمعیار حاصل گردید. سپس این وزن‌ها با روش میانگین هندسی ادغام شده و وزن نهایی هر لایه و زیرلایه مشخص شد.

با استفاده از نرم‌افزار ArcGIS این وزن‌ها به لایه‌ها و زیرلایه‌های مختلف اعمال و نهایتاً مکان‌های بهینه برای ایجاد ایستگاه‌های دائمی GNSS طبق نگاره ۱۴ به ۵ کلاس خیلی خوب، خوب، متوسط، بد و خیلی بد تقسیم شده

- Mineral Deposits, Southern Kerala Coast, India.
- 18- Naibbi, A. I., & Ibrahim, S. S. (2014). An assessment of the existing continuously operating reference stations (CORS) in Nigeria: an exploration using geographical information system (GIS). *American Journal of Geographic Information Systems*, 3(4), 147-157.
- 19- Rietveld, P., & Ouwersloot, H. (1992). Ordinal data in multicriteria decision making, a stochastic dominance approach to siting nuclear power plants. *European journal of operational research*, 56(2), 249-262.
- 20- Seeber, G. (2008). Satellite geodesy: foundations, methods, and applications. Walter de gruyter.
- 21- Snay, R. A., & Soler, T. (2008). Continuously operating reference station (CORS): history, applications, and future enhancements. *Journal of Surveying Engineering*, 134(4), 95-104.
- 22- Tang, M. (2009). QoS-aware reference station placement for regional network RTK. *Journal of Software Engineering and Applications*, 2(01), 44.
- 23- Tang, M. (2012, June). Evolutionary placement of continuously operating reference stations of network real-time kinematic. In 2012 IEEE Congress on Evolutionary Computation (pp. 1-8). IEEE.
- 24- Tang, M. (2014). A memetic algorithm for the location-based continuously operating reference stations placement problem in network real-time kinematic. *IEEE transactions on cybernetics*, 45(10), 2214-2223.
- 25- Thomas, P. G., & Doherty, P. C. (1980). The Analytic Hierarchy. In Process: Planning, Priority Setting, Resource Allocation, McGraw-Hill.
- 26- Ubando, A. T., Felix, C. B., Gue, I. H. V., Promentilla, M. A. B., & Culaba, A. B. (2020). A fuzzy analytic hierarchy process for the site selection of the Philippine algal industry. *Clean Technologies and Environmental Policy*, 22(1), 171-185.
- 27- Ying, X., Zeng, G. M., Chen, G. Q., Tang, L., Wang, K. L., & Huang, D. Y. (2007). Combining AHP with GIS in synthetic evaluation of eco-environment quality—a case study of Hunan Province, China. *Ecological modelling*, 209(2-4), 97-109.
- RTK and Long Base RTK Methods with Repetitive Measurements. *Journal of Sensors*, 2019.
- 5- Chang, D. Y. (1996). Applications of the extent analysis method on fuzzy AHP. *European journal of operational research*, 95(3), 649-655.
- 6- El-Rabbany, A. (2002). Introduction to GPS: the global positioning system. Artech house.
- 7- Ghodousi, M., & Sadeghi-Niaraki, A. (2019). Site Selection of the Public Libraries of Bojnourd City in Iran Using FAHP. *Research on Information Science and Public Libraries*, 25(2), 257-290.
- 8- Gogus, O., & Boucher, T. O. (1998). Strong transitivity, rationality and weak monotonicity in fuzzy pairwise comparisons. *Fuzzy Sets and Systems*, 94(1), 133-144.
- 9- Grewal, M. S., Weill, L. R., & Andrews, A. P. (2007). Global positioning systems, inertial navigation, and integration. John Wiley & Sons.
- 10- Hedling, G., Jonsson, B., Lilje, C., & Lilje, M. (2001, May). SWEPOS-The Swedish Network of Permanent GPS Reference Station (Status February 2001). In FIG Working Week (pp. 6-11).
- 11- Hofmann-Wellenhof, B., Lichtenegger, H., & Collins, J. (2012). Global positioning system: theory and practice. Springer Science & Business Media.
- 12- Huang, J., Yuan, R., & Zhang, Y. (2019). U.S. Patent Application No. 16/263,772.
- 13- Kazemi, F., Bahrami, A., & Sharif, J. A. (2020). Mineral processing plant site selection using integrated fuzzy cognitive map and fuzzy analytical hierarchy process approach: A case study of gilsonite mines in Iran. *Minerals Engineering*, 147, 106143.
- 14- Kee, C., & Shin, D. (1998). Performance Analysis of Wide Area Differential GPS (Wadgps) in East-Asia. *IFAC Proceedings Volumes*, 31(21), 311-316.
- 15- Kim, M. S., & Bae, T. S. (2019). Ubiquitous Positioning using State Space Representation (SSR) of Network-RTK Correction. *AGUFM*, 2019, G23B-0756.
- 16- Lechner, W., & Baumann, S. (2000). Global navigation satellite systems. *Computers and Electronics in Agriculture*, 25(1-2), 67-85.
- 17- Melwyn Joshua, R., Palanivel, K., & Rajaperumal, R. GIS Based Index Overlay Method in Targeting Heavy